

* تعیین مسیر فشار بهینه در فرآیند هیدروفرمینگ ورق با استفاده از روش تبرید تدریجی *
(پاداشرت پژوهشی)

سید محمدحسین سیدکاشی^(۱)

محمد حسین پور^(۲)

عباس هاشمی^(۳)

چکیده در فرآیندهای شکل دهنی ورق، تولید قطعات مخربوطی - استوانه‌ای در یک مرحله و با دقت بالا به دلیل وجود عیوب چروکیدگی و پارگی بسیار دشوار است. یکی از کارآترین روش‌ها در میان فرآیندهای هیدروفرمینگ ورق به منظور تولید قطعات مخربوطی - استوانه‌ای، روش کشش عمیق هیدرودینامیکی با فشار شعاعی است. در این مقاله مسیر فشار شکل دهنی به عنوان یکی از مهم‌ترین پارامترهای مؤثر در این فرآیند، مورد بررسی قرار گرفت و در یک روش جدید با ترکیب روش اجزای محدود با استفاده از نرم‌افزار آنسیس و بهینه‌سازی با الگوریتم تبرید تدریجی، مسیر بهینه فشار بدست آمد.

واژه‌های کلیدی قطعات مخربوطی - استوانه‌ای؛ کشش عمیق هیدرودینامیکی؛ الگوریتم تبرید تدریجی؛ روش اجزای محدود؛ مسیر فشار.

Determination of Optimal Pressure Path in Sheet Hydroforming Process Using Simulated Annealing Method

A. Hashemi

M. Hoseinpour

S.M.H. Seyedkashi

Abstract In sheet metal forming processes, one-stage production of conical-cylindrical parts with high accuracy is very difficult due to wrinkling and rupturing. Hydrodynamic deep drawing assisted by radial pressure is one of the most applicable procedures in sheet hydroforming process on the point of producing conical-cylindrical parts. In this paper, forming pressure path is investigated as one of the most important parameters of this process. The optimized pressure path is obtained utilizing a new procedure by combination of the finite element method using ANSYS/LS-DYNA and an optimization method using simulated annealing.

Key Words Conical-Cylindrical Parts; Hydrodynamic Deep Drawing; Simulated Annealing Algorithm; Finite Element Code; Pressure path.

*تاریخ دریافت مقاله ۹۴/۹/۴ و تاریخ پذیرش آن ۹۴/۷/۲۱ می‌باشد.

(۱) دانشجوی دکتری دانشکده مهندسی مکانیک، دانشگاه تربیت دبیر شهید رجایی.

(۲) نویسنده مسئول: استادیار، دانشکده مهندسی مکانیک، دانشگاه تربیت دبیر شهید رجایی، m.hoseinpour@srttu.edu

(۳) استادیار، دانشکده مهندسی مکانیک، دانشگاه پیر جند.

شماتیکی از این فرآیند در شکل (1) نمایش داده شده است [7]. در هر دو فرآیند مذکور، ورق توسط عمل مکانیکی سببه به داخل محفظه قالب شکل داده می‌شود. نفوذ سببه به داخل محفظه روغن، افزایش فشاری را ایجاد می‌کند که با استفاده از یک شیر کنترل فشار قابل تنظیم است. ورق کشیده شده به علت ایجاد فشار در زیر آن، به طور کامل به طرف سببه پرس می‌شود. این امر اصطکاک بین سببه و ورق را افزایش می‌دهد و بنابراین نیروهای بالاتری در مقایسه با کشش عمیق سنتی به ناحیه تغییر شکل انتقال داده می‌شود [8]. در ضمن سیال در محفظه قالب می‌تواند از فاصله بین ورق و قالب به سمت بیرون جریان یابد. در این شرایط به علت کوچک بودن گپ بین قالب و ورق گیر، فشار سیال در اطراف ورق ایجاد می‌شود. این فشار شعاعی در اطراف ورق، نیروی کشش را کاهش و نسبت کشش را افزایش می‌دهد. هم‌چنین به کمک این فرآیند مزیت‌های بسیاری از قبیل کیفیت سطح مطلوب، دقت ابعادی بالا و شکل‌دهی قطعات با منحنی‌های پیچیده حاصل می‌شود. ابزار به کار رفته در این روش در مقایسه با سایر فرآیندهای هیدروفرمینگ ورق، بسیار ساده‌تر و بدون نیاز به وسائل آببندی خاص است [9].

در زمینه بهینه‌سازی پارامترهای مؤثر در فرآیند هیدروفرمینگ ورق برای قطعات مخروطی-استوانه‌ای تحقیقات محدودی انجام شده است. پالنسوامی و همکارانش [10] با ترکیبی از روش اجزای محدود و بهینه‌سازی معمولی، ابعاد بهینه ورق را به منظور کاهش برگشت فنری قطعه نهایی به دست آوردند. لنگ و همکارانش [11] در فرآیند هیدروفرمینگ ورق آلومنیومی، با در نظر گرفتن پارامترهای شبیه‌سازی شامل ضربی استحکام، توان کرنش سختی، اصطکاک بین ورق-سببه و اصطکاک بین ورق-قالب، برخی پارامترهای کلیدی فرآیند شامل ابعاد قالب و فشار پیش بالج را با مدل‌سازی معکوس مورد بررسی قرار دادند و

مقدمه

قطعات مخروطی و سهموی در صنعت هوا و فضا، صنایع نظامی، صنایع خودروسازی، لوازم آشپزخانه و دیگر صنایع کاربردهای فراوانی دارند. هم‌چنین در صنعت هوایی (موتورهای پیستونی، موتور جت، توربین گاز، بالگردها و تجهیزات پرتاپ‌کننده‌های موشک به فضا) و در صنعت دریایی و ناوپری (کشتی‌های سطحی و زیردریایی‌ها) و در صنایع نظامی (танک‌ها و موشک‌ها) و در ماشین‌آلات صنعتی (تجهیزات اسپینینگ، کمپرسورها و ماشین‌آلات قالب‌گیری) و در تجهیزات کشاورزی و وسائل نقلیه (اسنوموبیل‌ها و قایقهای) از قطعات مخروطی متنوعی استفاده می‌شود. شکل دهنده این قبیل قطعات با روش‌های متداول کشش عمیق به راحتی امکان‌پذیر نیست و با مشکلاتی همراه است. دو مشکل عمده در تولید قطعات مخروطی، پارگی و چروکیدگی هستند. سطح تماس کم ورق و سببه در مراحل اولیه شکل دهنی تنش زیادی در ناحیه تماس ورق با سر سببه ایجاد می‌کند و موجب پارگی ورق می‌گردد. از طرفی سطح آزاد ورق در ناحیه بین نوک سببه و ورق گیر موجب می‌شود تا در هنگام کشیده شدن ورق، در ناحیه مخروطی چروک ایجاد شود [1]. در سال‌های اخیر فن آوری هیدروفرمینگ به منظور تولید قطعات متنوع و پیچیده، در کاربردهای مختلف به ویژه در تولید قطعات خودرو، هوایپما و تجهیزات الکترونیکی مورد توجه زیادی قرار گرفته است [2]. ابداعات متعددی در زمینه هیدروفرمینگ ورق ارائه شده است که می‌توان به هیدروفرمینگ استاندارد [3]، هیدروریم [4]، کشش عمیق هیدرودینامیکی [5]، کشش عمیق هیدرومکانیکی [6] و کشش عمیق هیدرودینامیکی با فشار شعاعی [7] اشاره نمود. فرآیند کشش عمیق هیدرودینامیکی با فشار شعاعی، با تغییر اندازی در ساختار ابزار در فرآیند کشش عمیق هیدرودینامیکی توسعه یافته است که

مواد و مراحل آزمایش

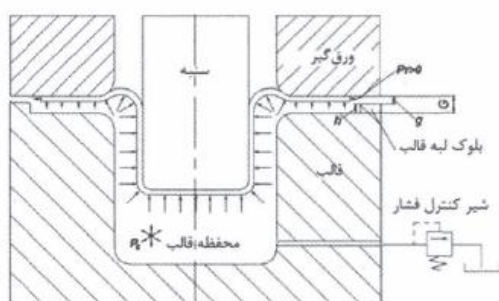
مواد. برای انجام آزمایش‌ها از ورق مس خالص ۹۹/۹٪ با ضخامت ۱ میلی‌متر و قطر گرده ۱۱۸ میلی‌متر، به منظور شکل‌دهی فنجان‌های مخروطی-استوانه‌ای در یک مرحله با روش کشش عمیق هیدرودینامیکی با فشار شعاعی استفاده شد. برای تعیین خواص مکانیکی مواد، آزمون کشش بر روی یک نمونه انجام شد که نتایج و برخی مشخصات فیزیکی آن در جدول (۱) ارائه شده است.

جدول ۱ خواص فیزیکی و مکانیکی ورق و اجزای قالب

اجزای قالب	مس خالص	ماده
۲۱۰	۱۱۷	مدول یانگ (GPa)
۰/۳	۰/۳۲	ضریب پواسون
-	۱۲۳	نش تسلیم (MPa)
-	۵۳۰/۹۸	ضریب استحکام (MPa)
-	۰/۴۴	توان کرنش سختی

آزمایش. برای انجام آزمایش‌ها از یک دستگاه پرس هیدرولیک با ظرفیت ۲۰۰KN استفاده شد. در هنگام انجام آزمایش‌ها با حرکت سنبه به درون محفظه قالب، فشار سیال افزایش می‌یابد و بدین صورت فشار مورد نیاز برای شکل‌دهی تأمین می‌گردد. برای بهبود بخشیدن به جریان فلز در ابتدای فرآیند، فشار اولیه محدودی توسط واحد هیدرولیکی در زیر ورق اعمال می‌گردد و سپس همزمان با حرکت سنبه و افزایش فشار درون محفظه قالب، ورق به داخل قالب کشیده می‌شود. پس از رسیدن فشار سیال به مقدار بیشینه، شیر کنترل فشار عمل می‌کند و از آن پس عملیات شکل‌دهی با فشار ثابت انجام می‌گیرد. در این پژوهش، گپ بین قالب و ورق گیر (G) با ایجاد بلوکی در لبه ورق گیر ایجاد شده و از هیچ اورینگی برای آب‌بندی استفاده نشده است و تماس بین ورق گیر و قالب (g) به صورت فلز با فلز است.

بهینه نمودند. چوی و همکارانش [12] با ترکیب تحلیل اجزای محدود تطبیقی با الگوریتم کنترل فازی، پارامترهای فشار هیدرولیکی و نیروی ورق گیر در هیدروفرمینگ گرم را برای قطعات استوانه‌ای بررسی نمودند. یعقوبی و همکارانش [13] با استفاده از ترکیب الگوریتم تبرید تدریجی و آموزش شبکه عصبی، مسیر فشار بهینه را در فرآیند هیدروفرمینگ مورد بررسی قرار دادند.



شکل ۱ اجزای قالب فرآیند کشش عمیق هیدرودینامیکی با فشار شعاعی [7]

برای شکل‌دهی قطعه مخروطی سالم در فرآیند کشش عمیق هیدرودینامیکی با فشار شعاعی، مسیر فشار نقش مهم و تعیین کننده‌ای ایفا می‌کند. در این مقاله روش جدیدی با عنوان تبرید تدریجی برای بهینه‌سازی مسیر فشار فرآیند مذکور پیشنهاد شد. بهینه‌سازی فرآیند تبرید تدریجی به عنوان یک روش بهینه‌سازی فرآبتكاری در ترکیب با کد اجزای محدود ANSYS/LS-DYNA مورد استفاده قرار گرفت. در این روش با تصدیق مدل اجزای محدود در یک معیار شکست، دست‌یابی به قطعه مطلوب با بهترین توزیع ضخامت به عنوان تابع هدف در نظر گرفته شد. نتایج حاصل از الگوریتم تبرید تدریجی با نمونه تحریسی حاصل از مسیر بهینه فشار به صورت توزیع ضخامت در قطعه نهایی مقایسه و اعتبارسنجی شد.

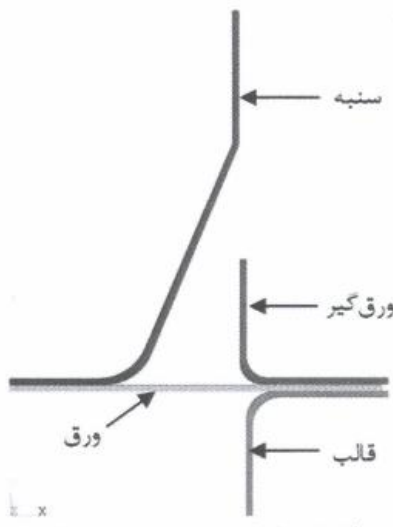
روش بهینه‌سازی تبرید تدریجی

روش تبرید تدریجی نخستین بار توسط کرکاتریک و همکارانش [15] در سال ۱۹۸۳ در حل مسائل بهینه‌سازی ترکیبی پیشنهاد شد. این روش توسعه‌ای بر روی مونت کارلو بود که توسط متروپلیس به منظور تعیین وضعیت تعادل از مجموعه اتم‌ها در هر دمای داده شده ارائه گردید [16]. بهینه‌سازی با الگوریتم تبرید تدریجی در مسائل مهندسی به طور وسیعی گسترش یافته است. در الگوریتم تبرید تدریجی از عملیات حرارتی آنلیل کردن الهام گرفته می‌شود که در این فرآیند وقتی یک فلز سرد می‌شود، به یک ساختار بلوری با حداقل انرژی و اندازه بلور بزرگ‌تر منجمد می‌شود و عیوب در ساختار فلزی کاهش می‌یابد [17]. در الگوریتم تبرید تدریجی فرض می‌شود سیستم از یک دمای بالا با انرژی زیاد، به آرامی در حال سرد شدن است. در حقیقت این الگوریتم به صورت جستجوی تصادفی به دنبال یافتن کمترین مقدار انرژی در هر دما برای تابع هدف می‌باشد [18]. مهم‌ترین مزیت این روش در مقایسه با روش‌های تکرارشونده مشابه توانایی جستجو در فضاهای بزرگ و امکان بالاروی و خروج از کمینه‌های محلی است. ساختار کلی الگوریتم تبرید تدریجی می‌تواند به صورت زیر بیان شود [19]:

- الف) تعریف دمای اولیه.
- ب) تعریف دمای نهایی.
- ج) تعریف تابع سرمایش.
- د) تعریف تعداد زنجیره مارکوف.
- ه) تعریف متغیر تصادفی اولیه.
- و) تکرار الگوریتم جستجو در یک دمای ثابت به‌اندازه تعداد زنجیره مارکوف (ایجاد متغیر جدید و بررسی آن با شرط پذیرش).
- ز) کاهش دما.
- ح) تصدیق شرایط همگرایی و در غیر این صورت به مرحله (و) رجوع شود.
- ط) پایان.

مدل اجزای محدود

به منظور کاهش زمان اجرای کد اجزای محدود در حین فرآیند بهینه‌سازی، المان دو بعدی متقاضی PLANE 162 در نرم‌افزار انسیس استفاده شد. نمونه‌ای از مدل اجزای محدود در شکل (۲) نمایش داده شده است. قالب، ورق‌گیر و سنبه به صورت جسم کاملاً صلب تعریف شد. در حالی‌که ورق از خواص مواد پلاستیسیته قانون توان تبعیت می‌کند. مواد ورق که به صورت همسان گرد فرض شده و خواص مواد سایر اجزای مجموعه قالب (قالب، ورق‌گیر و سنبه) در جدول (۱) ارائه شده است. قالب و ورق‌گیر به طور کامل مقید شده است و سنبه می‌تواند تنها در راستای عمودی منطبق با محور مرکزی خود حرکت کند. قید فشار در تمام سطح زیرین ورق و هم‌چنین در لبه ورق اعمال شده است. نتایج حاصل از آنالیز حساسیت نشان داد که تعداد المان‌ها در راستای طولی برابر طول ورق و در راستای ضخامت چهار برابر ضخامت ورق مطلوب خواهد بود. مقدار ضربی اصطکاک در مدل اجزای محدود برای سطح تماس سنبه-ورق برابر 0.14×10^4 و برای سطوح مشترک ورق-قالب و ورق-ورق‌گیر 0.04×10^4 در نظر گرفته شده است [14].



شکل ۲ مدل المان‌بندی شده در شبیه‌سازی

الگوریتم بهینه‌سازی توسط یک کد واسط (در محیط نرم‌افزار (MATLAB) با نرم‌افزار ANSYS/LS-DYNA با استفاده از زبان طراحی پارامتریک انسپیس (APDL)) ترکیب می‌شود و خروجی‌های حاصل از تحلیل نرم‌افزار ANSYS را بررسی می‌نماید و بر همین اساس متغیرهای جدید را انتخاب می‌کند. پیش از این که متغیر جدید توسط احتمال پذیرش متropolis در الگوریتم بهینه‌سازی مورد بررسی قرار گیرد، ابتدا نتیجهٔ متغیر جدید حاصل از مدل اجزای محدود توسط معیار شکست کنترل می‌شود. در صورتی که نتیجهٔ حاصل از مدل اجزای محدود در معیار شکست تعريف‌شده صدق کند، می‌تواند به عنوان یک متغیر جدید در شرط احتمال پذیرش ($P(\Delta E)$) بررسی شود. در این پژوهش معیار شکست براساس معیار حداکثر نازکشیدگی به‌همراه انطباق شکل نهایی قطعه با سنبه تعريف شده است. سطح نازکشیدگی ۳۰٪ به عنوان حداکثر مقدار احتمالی برای قطعه نهایی در معیار شکست فرض شد [20]. با در نظر گرفتن این معیار در شرایطی که ضخامت ورق از مقدار ۷/۰ میلی‌متر کمتر شود (ضخامت اولیه ورق ۱ میلی‌متر)، متغیر پیشنهادشده مورد قبول واقع نخواهد شد. انطباق شکل نهایی قطعه با سنبه با محاسبة فاصله گره‌های المان‌های سطح بالایی ورق نسبت به گره‌های المان‌های بیرونی سنبه در قسمت مخروطی کنترل می‌شوند. در صورتی که فاصله این گره‌ها از مقدار ۰/۲ میلی‌متر بیشتر باشد، این نتیجه از چرخه الگوریتم حذف خواهد شد. علت تعريف این معیار انطباق به جهت جلوگیری از وجود هرگونه عیب شامل چروکیدگی و عدم دقت ابعادی شکل نهایی قطعه با سنبه در شکل‌دهی با فشارهای پیشینه پایین است.

تابع سرمایش، دمای اولیه، دمای نهایی و زنجیره مارکوف از جمله پارامترهای مؤثر در زمان‌بندی الگوریتم هستند. هر کدام از این پارامترها در فرآیند جستجو می‌تواند در رسیدن به کمینه هم‌گرایی اصلی و

چهارچوب اصلی الگوریتم تبرید تدریجی براساس متغیرهای ورودی، تابع هدف، معیار شکست، تابع پذیرش و زمان‌بندی الگوریتم تعريف می‌شود. در این پژوهش متغیر ورودی در بهینه‌سازی فرآیند هیدروفرمینگ ورق، فشار بیشینه در نظر گرفته شد. در واقع تولید قطعه سالم با استفاده از فشار بیشینه بهینه، هدف اصلی فرآیند هیدروفرمینگ ورق تعريف می‌شود. بنابراین، تابع هدف، دست‌یابی به قطعه مطلوب با بهترین توزیع ضخامت بیان می‌شود. هنگامی که قطعه‌ای کمترین مقدار نازکشیدگی را داشته باشد، به عنوان قطعه مطلوب با بهترین توزیع ضخامت انتخاب می‌شود. در چنین شرایطی با محاسبة فاصله گره‌های المان‌های دو سطح بیرونی ورق از یکدیگر می‌توان کمترین مقدار نازکشیدگی حاصل از پس‌پردازشگر اجزای محدود در هر قطعه را به دست آورد. بنابراین در هر مرحله، با درنظر گرفتن یک فشار بیشینه جدید به عنوان متغیر ورودی، انرژی جدید از تحلیل اجزای محدود حاصل خواهد شد. در شرایطی که کمترین مقدار نازکشیدگی تعیین گردد، فشار بیشینه بهینه به دست خواهد آمد.

در الگوریتم تبرید تدریجی احتمال این که متغیر پیشنهادشده مورد قبول واقع شود براساس معیار پذیرش متropolis ($P(\Delta E)$) تعیین می‌گردد [15]. در شرایطی که تغیرات انرژی منفی باشد متغیر پیشنهادشده پذیرفته می‌شود و در غیر اینصورت احتمال پذیرش آن توسط رابطه ($P(\Delta E)$) مورد بررسی قرار می‌گیرد. در صورتی که احتمال پذیرش متropolis از یک مقدار تصادفی در بازه صفر و یک بیشتر باشد، متغیر پیشنهادشده پذیرفته می‌شود و جایگزین وضعیت جاری می‌گردد و در غیر این صورت با رد متغیر پیشنهادشده، وضعیت جاری بدون تغییر باقی می‌ماند و مجددًا متغیر جدید دیگری پیشنهاد می‌شود. این چرخه به منظور دست‌یابی به داده‌های مناسب تا رسیدن الگوریتم به شرایط انجماد ادامه می‌یابد.

نتایج حاصل از مدل اجزای محدود نشان داد که بازه ۵ تا 80 MPa در معیار $\%30$ نازک شدگی صدق می‌کند، اما با توجه به روند صعودی درصد کاهش ضخامت در فشارهای بالا، به منظور کاهش زمان الگوریتم می‌توان کران بالای فضای جستجو را به 40 MPa کاهش داد (شکل ۳).

نتایج و بحث

به منظور بررسی تأثیر مسیر فشار به عنوان یکی از عوامل بسیار مهم در قابلیت شکل‌بذیری قطعات مخروطی در فرآیند هیدروفرمینگ، دو نوع روش بهینه‌سازی مسیر بارگذاری شامل نوع اول: مسیر فشار با سرعت متغیر سنبه، نوع دوم: مسیر فشار با سرعت ثابت سنبه مورد بررسی قرار گرفت.

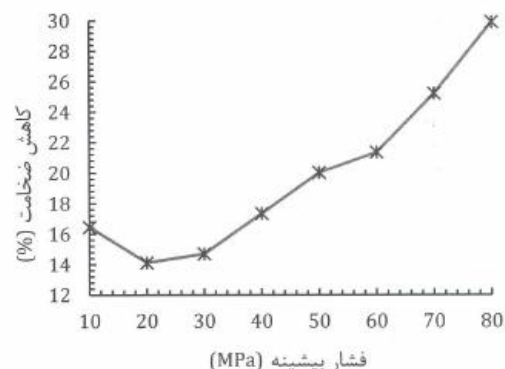
مسیر فشار با سرعت متغیر سنبه. در این نوع بارگذاری، با تغییر فشار بیشینه به طور همزمان سرعت سنبه نیز تغییر می‌کند. در این شرایط بعد از انجام تعداد 20 t تحلیل اجزای محدود و صدق نمودن در معیار شکست، شرط همگرایی ارضامی شود و تابع هدف (کمینه نازک شدگی) به مقدار $13/03$ درصد همگرا می‌شود. نتیجه حاصل از بهینه‌سازی با الگوریتم تبرید تدریجی، مقدار $21/1\text{ MPa}$ برای فشار بیشینه نهایی می‌باشد.

مسیر فشار با سرعت ثابت سنبه. سرعت ثابت مورد استفاده در این حالت برابر با شبیه‌سازی شده حاصل از بارگذاری نوع دوم می‌باشد. با استفاده از بارگذاری نوع دوم علاوه بر تعیین فشار بیشینه بهینه‌شده، مسیر فشار ثابت نیز حاصل خواهد شد. در این شرایط بعد از تعداد 215 t شبیه‌سازی مورد قبول در معیار شکست، تابع هدف در مقدار $13/02$ درصد همگرا می‌شود. بهینه فشار بیشینه در این نوع بارگذاری، مقدار 21 MPa به دست آمد.

جلوگیری از به دام افتادن در نواحی کمینه محلی مؤثر باشد. در این مقاله برای تابع سرمایش از رابطه لگاریتمی (۱) استفاده شد [21].

$$T_k = \frac{T_{k-1}}{1 + \ln(k+1)}, k = 1, 2, \dots \quad (1)$$

دمای اولیه به عنوان یکی از مهم‌ترین پارامترهای زمان‌بندی الگوریتم بهینه‌سازی، بر مبنای اختلاف بیشترین و کمترین مقادیر تابع هدف ($\max\Delta E$) بدون درنظر گرفتن معیار شکست به‌ازای احتمال 50 درصدی پذیرش متغیرهای تصادفی (P_0)، برابر 5 درجه درنظر گرفته شد [22]. دمای نهایی (شرایط انجماد) الگوریتم بر مبنای حداقل تعداد دمای‌های استفاده شده 20 مرتبه و حداقل اختلاف انرژی $0/001$ تعریف شد. طول زنجیره مارکوف به صورت ثابت و برابر 30 درنظر گرفته شد. طول زنجیره مارکوف، تعداد تکرار حلقة داخلی در یک دمای ثابت به منظور جستجوی کمترین مقدار انرژی می‌باشد. بهترین شیوه برای انتخاب مناسب این پارامترها سعی و خطا انجام است.



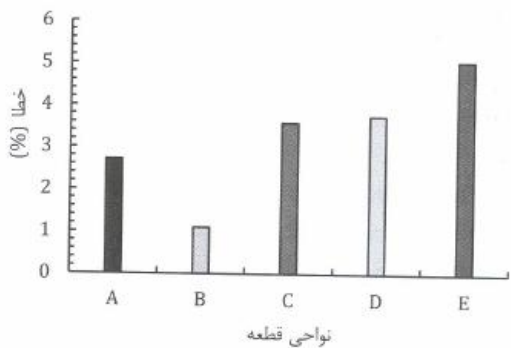
شکل ۳ تمودار حاصل از اعمال مسیر فشارهای با فشار بیشینه مختلف در شبیه‌سازی

در این پژوهش به منظور تعیین فضای جستجو، مسیرهای بارگذاری با فشارهای بیشینه مختلف در شبیه‌سازی اجزای محدود مورد بررسی قرار گرفت.

نتیجه‌گیری

در این پژوهش روش ترکیب الگوریتم تبرید تدریجی و تحلیل اجزای محدود به منظور بهینه‌سازی مسیر فشار برای هر نوع قطعه مخروطی و استوانه‌ای به عنوان یک روش جدید در فرآیند هیدروفرمینگ ورق، پیشنهاد شد و تدوین و اعتبارسنجی گردید. برای دست‌یابی به دقت بالاتر در این الگوریتم، پارامترهای اصلی آن شامل تابع سرمایش، دمای اولیه، شرایط انجام و طول زنجیره مارکوف مطابق با فرآیند مناسب‌سازی شد. بهینه‌سازی مسیر فشار با دو نوع بارگذاری سرعت متغیر و سرعت ثابت سنبه انجام گردید. در ابتدا بهینه مسیر فشار با سرعت متغیر سنبه با استفاده از الگوریتم به دست آمد و سپس شبیح حاصل از این نوع بارگذاری در روش سرعت ثابت سنبه مورد استفاده قرار گرفت. در نهایت مقدار بهینه فشار حاصل از ترکیب الگوریتم تبرید تدریجی و تحلیل اجزای محدود، $21/1\text{ MPa}$ برای 21 MPa بارگذاری مسیر فشار با سرعت متغیر سنبه و برای بارگذاری مسیر فشار با سرعت ثابت به دست آمد. مسیر فشار حاصل از بهینه‌سازی در نمونه آزمایشگاهی هیدروفرمینگ ورق اعمال شد. مقایسه کمینه ضخامت در قطعه تحت مسیر فشار بهینه در نمونه آزمایشگاهی و بهینه‌سازی، صحت روش ترکیبی بهینه‌سازی و تحلیل اجزای محدود در این پژوهش را دلالت نمود. بنابراین الگوریتم تبرید تدریجی به عنوان یک روش ترکیبی در فضاهای جستجوی وسیع در روش هیدروفرمینگ ورق، بازدهی مناسبی را در تعیین مسیر فشار مطلوب و طراحی سایر پارامترهای مؤثر در آن فرآیند خواهد داشت.

نتایج حاصل از بهینه‌سازی نشان می‌دهد که مقادیر همگرا شده تابع هدف در هر دو نوع بارگذاری، اختلاف بسیار ناچیزی ($0/01$ درصد) دارد. بنابراین کافی است نتایج حاصل از بهینه‌سازی یکی از روش‌های بارگذاری برای اعتبارسنجی با نتایج روش تجربی مقایسه شود. در پژوهش حاضر شکل هندسی قطعه مخروطی به پنج ناحیه تقسیم‌بندی می‌شود: انتهای تخت مخروط ناقص (A)، شعاع نوک مخروطی (B)، دیواره مخروطی (C)، شعاع گذار مخروطی - استوانه‌ای (D) و دیواره استوانه‌ای (E). با توجه به شکل (4) بیشترین مقدار نازک‌شدگی در ناحیه شعاع نوک (B) به عنوان بحرانی‌ترین ناحیه شعاع نوک مخروطی (B) به عنوان بحرانی‌ترین ناحیه رخ می‌دهد، بنابراین خروجی تحلیل اجزای محدود به‌ازای پارامتر ورودی فشار بیشینه، مقدار نازک‌شدگی در این ناحیه است. بیشترین و کمترین مقدار خطأ برابر $5/0$ و $1/1$ درصد، به ترتیب مربوط به نواحی E و B می‌باشد. با توجه به این که ناحیه B در مقایسه با سایر نواحی قطعه، دارای کمترین مقدار خطأ یعنی $1/1$ درصد می‌باشد و خروجی تحلیل اجزای محدود نیز در این ناحیه واقع است، می‌توان نتیجه گرفت تطابق مناسبی بین نتایج تجربی و بهینه‌سازی وجود دارد.



شکل ۴ بیشترین درصد اختلاف بین منحنی‌های توزیع ضخامت نمونه‌های بهینه‌سازی و تجربی

مراجع

- Hashemi, A., Mashhadi, M., Bakhshi Jooybari, M. and Gorji, A., "Study of the effect of material properties and sheet thickness on formability of conical parts in hydro-mechanical deep drawing

- assisted by radial pressure", Advanced Materials Research, Vol. 445, pp. 149-154, (2012).
2. Lang, L., Danckert, J. and Nielsen, K.B., "Study on hydromechanical deep drawing with uniform pressure onto the blank", Int. J. Machine Tools & Manufacture, Vol. 44, pp. 495-502, (2004).
 3. Thiruvarudchelvan, S. and Lewis, W., "A note on hydroforming with constant fluid pressur", J. Materials Processing Technology, Vol. 88, pp. 51-56, (1999).
 4. Zhang, S.H., Wang, Z.R., Xu, Y., Wang, Z.T. and Zhou, L.X., "Recent developments in sheet hydroforming technology", J. Materials Processing Technology, Vol. 151, pp. 237-241, (2004).
 5. Lang, L.H., Wang, Z.R., Kang, D.C., Yuan, S.J., Zhang, S.H., Danckert, J. and Nielsen, K.B., "Hydroforming highlights: sheet hydroforming and tube hydroforming", J. Materials Processing Technology, Vol. 151, pp. 165-177, (2004).
 6. Thiruvarudchelvan, S. and Travis, F.W., "Hydraulic pressure enhanced cup drawing processes an appraisal", J. Materials Processing Technology, Vol. 140, pp. 70-75, (2003).
 7. Lang, L. and Danckert, J., "Investigation into hydrodynamic deep drawing assisted by radial pressure Part I. Experimental observations of the forming process of aluminum alloy", J. Materials Processing Technology, Vol. 148, pp. 119-131, (2004).
 8. Khandeparkar, T. and Liewald, M., "Hydromechanical deep drawing of cups with stepped geometries", J. Materials Processing Technology, Vol. 202, pp. 246-254, (2008).
 9. Lang, L., Danckert, J. and Nielsen, K.B., "Investigation into hydrodynamic deep drawing assisted by radial pressure Part II. Numerical analysis of the drawing mechanism and the process parameters", J. Materials Processing Technology, Vol. 166, pp. 150-161, (2005).
 10. Palaniswamy, H., Ngaile, G. and Altan, T., "Optimization of blank dimensions to reduce springback in the flexforming process", J. Materials Processing Technology, Vol. 146, pp. 28-34, (2004).
 11. Lang, L., Li, T., Zhou, X., Kristensen, B.E., Danckert, J. and Nielsen, K.B., "Optimized decision of the exact material modes in the simulationfor the innovative sheet hydroforming method", J. Materials Processing Technology, Vol. 177, pp. 692-696, (2006).
 12. Choi, H., Koc, M. and Ni, J., "Determination of optimal loading profiles in warm hydroforming of lightweight materials", J. Materials Processing Technology, Vol. 190, pp. 230-242, (2007).
 13. Yaghoobi, A., Baseri, H., Bakhshi-Jooybari, M., Gori, A., "Optimization of Pressure Path in Sheet Hydroforming Process Using Artificial Intelligence and Simulated Annealing", Advanced Materials Research, Vol. 622, pp. 772-779, (2014).
 14. Liu, X., Xu, Y. and Yuan, Sh., "Effects of Loading Paths on Hydrodynamic Deep Drawing with Independent Radial Hydraulic Pressure of Aluminum Alloy Based on Numerical Simulation", J. Material Science and Technology, Vol. 24, pp. 395-399, (2008).
 15. Kirkpatrick, S., Gelatt, C.D. and Vecchi, M.P., "Optimization by Simulated Annealing", Science, Vol. 220, pp. 671-680, (1983).
 16. Metropolis, N., Rosenbluth, A., Rosenbluth, M., Teller, A. and Teller, E., "Equation of state calculations by fast computing machines", J. Chemical Physics, Vol. 21, pp. 1087-1092, (1953).
 17. Yang, X.Sh., "Nature-Inspired Optimization Algorithms", pp. 67-75, Elsevier, (2014).
 18. Seyedkashi, S.M.H., Moslemi Naeini, H., Liaghat, G.H., Mosavi Mashhadi, M. and Moon, Y.H., "Numerical and experimental study on the effect of expansion ratio, corner fillets and strain rate in warm hydroforming of aluminium tubes", Modares Mechanical Engineering, Vol. 12, No. 5, pp. 122-131, (2012). (In Persian)

تعیین مسیر فشار بهینه در فرآیند هیاروفرمینگ...

عباس هاشمی - محمد حسین پور - سید محمد حسین سیدکاشی

-
19. Mirzaali, M., Seyedkashi, S.M.H., Liaghat, G.H., Moslemi Naeini, H., Shojaee, K. and Moon, Y.H., "Application of simulated annealing method to pressure and force loading optimization in tube hydroforming process", Int. J. Mechanical Sciences, Vol. 55, pp. 78–84, (2012).
 20. Papadia, G., Del Prete, A., Spagnolo, A. and Anglani, A., "Pre-Bulging influence on an inverse drawn shape obtained with Hydromechanical Deep Drawing(HDD)", Int. J. Material Forming, Vol. 3, pp. 287- 290, (2010).
 21. Seyedkashi, S.M.H., Moslemi Naeini, H., Liaghat, G.H., Mosavi Mashhadi, M., Mirzaali, M., Shojaee, K. and Moon, Y.H., "The effect of tube dimensions on optimized pressure and force loading paths in tube hydroforming process", J. Mechanical Sciences and Technology, Vol. 26, No.6, pp. 1817–1822, (2012).
 22. Seyedkashi, S.M.H., Moslemi Naeini, H., Liaghat, G.H., Mosavi Mashhadi, M., Shojaee Ghandashtani, K., Mirzaali, M. and Moon, Y.H., "Experimental and Numerical Investigation of Simulated Annealing Technique in Optimization of Warm Tube Hydroforming, Proceedings of the Institution of Mechanical Engineers", Part B, J. Engineering Manufacture, Vol. 226, No.11, pp. 1869–1879, (2012).